



## سنگ‌شناسی، کانی‌شناسی و روابط بافتی متاپریدوتیت‌های منطقه‌ی سرو، شمال غربی ایران

بهنام محمدزاده<sup>۱</sup>، رباب حاجی علی اوغلی<sup>۱</sup>، محسن مؤذن<sup>۱</sup>، رولند ابرهانشلی<sup>۲</sup>

۱- گروه زمین‌شناسی، دانشکده علوم طبیعی، دانشگاه تبریز

۲- مرکز تحقیقات علوم زمین، دانشگاه پتسدام، آلمان

(دریافت مقاله: ۸۹/۲/۱۱، نسخه نهایی: ۸۹/۸/۲۳)

**چکیده:** گستره‌ی مورد بررسی در شمال غرب شهرستان سرو در استان آذربایجان غربی قرار گرفته است. انواع سنگ‌های دگرگونی در منطقه عبارتند از متابازیت‌ها، آهک‌های دگرگون شده و متاپریدوتیت‌ها. سنگ‌های متابازی در رخساره‌ی شیست سبز تا آمفیبولیت دگرگون شده‌اند. سنگ آهک‌های دگرگون شده بیشتر از مرمر و بیش از ۹۰٪ ترکیب سنگ از کلسیت تشکیل شده است. متاپریدوتیت‌ها اغلب سرپانتینی شده و شدت سرپانتینی شدن آن‌ها از درجه‌های کم تا زیاد متغیر است. بر اساس بررسی‌های سنگ‌شناسی، کانی‌شناسی، مشاهدات بافتی و داده‌های ژئوشیمیایی، ترکیب پروتولیت سنگ‌های متاپریدوتیت، هارزبورگیت و لرزولیت ارزیابی می‌شود. بر پایه‌ی توالی فرایندهای دگرگونی پی در پی دماسنجی، بالاترین دمای احتمالی برای تشکیل ترمولیت و سرپانتین در متاپریدوتیت‌های سرو به ترتیب در حدود  $780^{\circ}\text{C}$  و  $480^{\circ}\text{C}$  تعیین می‌شود. با استفاده از شیمی سنگ کل و نمودارهای ترکیب شیمیایی، نمونه‌های متالترامافیک سرو در گستره‌ی پریدوتیت‌های دگرگون واقع شده‌اند. بر اساس داده‌های سنگ‌شناسی و ژئوشیمیایی، احتمال اینکه خاستگاه پوسته‌ی اقیانوسی و افیولیتی پریدوتیت‌های مورد بررسی باشد بیشتر است.

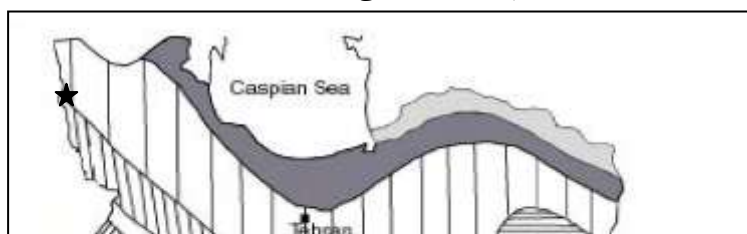
**واژه‌های کلیدی:** سرپانتین؛ متاپریدوتیت؛ سرو؛ شمال غرب ایران.

### مقدمه

سنگ‌های دگرگون شامل شیست سبز، آمفیبولیت، متاپریدوتیت‌های سرپانتینی شده و سرپانتینیت بررسی شده و فرایندهای سرپانتینی شدن سنگ‌های الترامافیک، واکنش‌های دگرگونی احتمالی و شرایط دمای سرپانتینی شدن آن‌ها تعیین شده است. همچنین با استفاده از شواهد سنگ‌شناسی، بافتی و داده‌های ژئوشیمی نیز ترکیب پروتولیت سنگ‌های متالترامافیک سرو مشخص شده است.

منطقه‌ی سرو در شمال غرب ایران در طول جغرافیایی  $36^{\circ}$  و  $36^{\circ}$  و  $33^{\circ}$  عرض جغرافیایی  $36^{\circ}$  شمالی و  $49^{\circ}$  و  $37^{\circ}$  شرقی قرار گرفته است. منطقه‌ی سرو بر اساس تقسیم‌بندی [۲]، در گستره‌ی زون خوی-مه‌باد واقع می‌شود. همچنین این منطقه از نظر تقسیم‌بندی ساختاری ارائه شده توسط [۱] در زون سنندج-سیرجان قرار می‌گیرد (شکل ۱). در این پژوهش سنگ‌شناسی، کانی‌شناسی و روابط بافتی انواع

\* نویسنده مسئول، تلفن - نمابر: ۳۳۵۶۰۲۷ (۰۴۱۱)، پست الکترونیکی: [hajialioghli@tabrizu.ac.ir](mailto:hajialioghli@tabrizu.ac.ir)



شکل ۱ موقعیت منطقه سرو در نقشه‌ی زون ساختاری ایران بر اساس تقسیم بندی [۱].

#### زمین‌شناسی منطقه

بررسی‌های سنگ‌شناختی منطقه‌ی مورد بررسی معلوم کرد که سنگ‌های تشکیل دهنده‌ی آن از سنگ‌های دگرگون (متاپریدوتیت، آمفیبولیت، شیست سبز و مرمز)، سنگ‌های رسوبی (آهک، گل‌سنگ و ماسه‌سنگ) و گرانیتوئید تشکیل شده‌اند.

سنگ‌های متاپریدوتیت در منطقه‌ی مورد بررسی به شدت سرپانتینی شده و بندرت بقایایی از اولیوین‌ها و ارتوپروکسن‌های اولیه در آن‌ها دیده می‌شوند. شکل ۲ برونزد اصلی سنگ‌های سرپانتینیت در جنوب روستای سین آباد را نشان می‌دهد. سن این سنگ‌ها در نقشه‌ی ۱/۲۵۰۰۰۰ سرو به مزوزوئیک (کرتاسه) نسبت داده شده است [۳]. سرپانتینیت‌ها در نمونه‌های دستی به رنگ سبز تیره با ساخت توده‌ای دیده می‌شوند. برخی از سرپانتینیت‌ها دارای رگه‌هایی از سرپانتین ثانویه به صورت پرکننده‌ی شکستگی‌ها هستند.

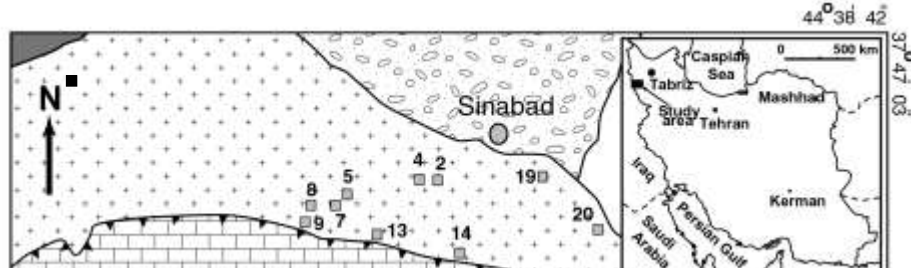
آمیزه رنگین (افیولیتی بهم خورده‌ی دنباله‌دار) در بخش جنوبی برونزد اصلی سرپانتینیت‌ها مشاهده می‌شود که شامل قطعاتی از سرپانتینیت‌ها همراه با آمفیبولیت، شیست سبز،

مرمز و رسوب‌های ...

گرفتن قطعات آمیزه‌ی رنگین در گنگومرای قاعده‌ی ائوسن زیرین، جایگزینی زمین‌ساختی آن‌ها به زمان پیش از ائوسن پیشین نسبت داده شده است [۳]. آمفیبولیت‌ها در نمونه‌های دستی به رنگ سبز تقریباً روشن تا خاکستری هستند. سنگ‌های آمفیبولیت بیشتر به صورت میان لایه با مرمزها یافت می‌شوند. سنگ‌های شیست سبز از دگرگونی سنگ‌های بازی و به مقدار کمتر پیروکسنیت‌ها تشکیل شده‌اند. در برخی از این سنگ‌ها بافت ماگمایی سنگ اولیه مشخص است. کانی‌های اکتینولیت به صورتی سوزنی همراه با پلاژیوکلاز و اپیدوت در نمونه‌های دستی قابل تشخیص‌اند.

سنگ‌های آهکی تریلوبیت‌دار وابسته به سازند میلا عموماً به رنگ سفید تا خاکستری بوده و بیشتر از کلسیت و دولومیت تشکیل شده‌اند. [۴] بر پایه بررسی‌های فسیل‌شناسی سن کامبرین میانی- فوقانی را برای آن‌ها پیشنهاد کردند.

سنگ‌های گرانیتوئیدی در بخش شمال و شمال غربی منطقه برونزد دارند. برخوردگاه سنگ‌های آهکی با گرانیتوئیدها گسلی است [۳].



شکل ۲ نقشه زمین شناسی سرو [۳] و موقعیت نمونه برداری سنگها در آن.

#### بحث و بررسی

#### بررسی های سنگ شناسی

#### متابازیتها

#### شیست سبز

بافت این سنگها نماتوبلاستیک و پورفیروبللاستیک است. مجموعه کانیهای دگرگون در این سنگها شامل پلاژیوکلاز + کلریت + اپیدوت + کلسیت ± کوارتز ± اکتینولیت ± کلسیت است. کانیهای کدر در مقادیر فرعی در سنگها حضور دارند. کلسیت ریز دانه در متن سنگ به صورت پراکنده است. کلسیت نیز به صورت ثانویه و پر کنندهی شکستگیهای سنگ تشکیل شده است. کلریت بی شکل بوده و در زمینهی ریز دانهی سنگ مشاهده می شود. کانیهای پلاژیوکلاز بی شکل تا نیمه شکل دار و کانیهای اپیدوت به صورت ریز دانه و بی شکل است (شکل ۳ الف). کانیهای درشت دانه پلاژیوکلاز در زمینهی ریز دانه متشکل از کلریت، کلسیت، پلاژیوکلاز و اپیدوت، بافت پورفیروبللاستیک دارند.

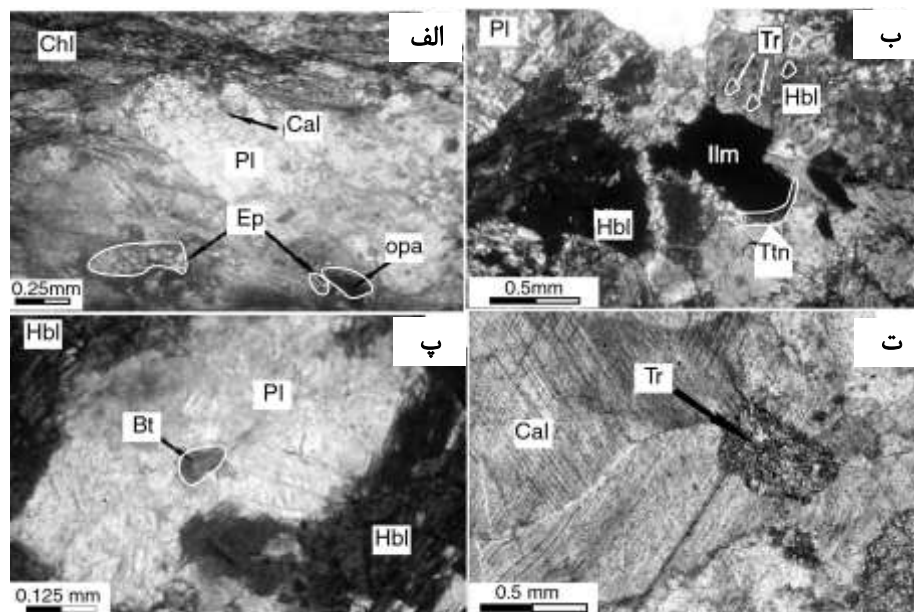
اکتینولیت سبز با بلورهای کشیده و منشوری در سنگهای

اکتینولیت شیست، بافت نماتوبلاستیک نشان می دهد.

#### ب- آمفیبولیت

این سنگها به شدت دگرسان شده اند. کانیهای اصلی آمفیبولیتها شامل هورنبلند (۴۰٪ تا ۵۰٪) و پلاژیوکلاز (۲۵٪ تا ۳۵٪) بوده و کانیهای ایلمنیت و بیوتیت در مقادیر فرعی حضور دارند (شکل ۳ ب). زوئیزیت، تیتانیت، ترمولیت- اکتینولیت و کلریت، از کانیهای دگرگون پسروده هستند. لکههایی پراکنده از ترمولیت- اکتینولیت در هورنبلند مشاهده می شود (شکل ۳ ب). کانیهای بیوتیت به کلریت تجزیه شده اند. بیوتیت اولیه گاهی در زمینهی گرانوبلاستیک این سنگها مشاهده می شود. بیوتیت نیز به صورت نفوذی در پلاژیوکلاز یافت می شود (شکل ۳ پ). ایلمنیت در برخی از نمونهها در حاشیه به تیتانیت تجزیه شده اند (شکل ۳ ت). حضور تیتانیت پیرامون ایلمنیت به صورت بافت واکنشی می تواند دلیلی بر تغییر چگونگی سنگ از دگرگونی در دمای بالا به دگرگونی در دمای پایین باشد.





شکل ۳ الف) پلاژیوکلاز تجزیه شده به کلسیت و اپیدوت در شیست سبز، (PPL)؛ ب) تشکیل تیتانیت در اطراف ایلمنیت در آمفیبولیت. هورنبلند در محل کلیواژ و حاشیه بلور به ترمولیت-آکتینولیت تبدیل شده است، (XPL)؛ پ) اینکلوزن بیوتیت در داخل پلاژیوکلاز در آمفیبولیت، (PPL)؛ ت) ترمولیت-آکتینولیت در مرمر، (XPL). علائم اختصاری کانی‌ها از [۵] است.

#### مررها

کریزوتیل و لیزاردیت به‌عنوان اولین کانی‌ها در طی تبدیل کانی‌های آهن و منیزیم دار سنگ‌های اولترابازی به سرپانتین در شرایط دگرگونی رخساره‌ی شیست سبز تشکیل شده‌اند. آنتی‌گوریت چندریخت با دمای بالا و در دماهای بالاتر از شیست سبز تا رخساره‌ی آمفیبولیت پایدار است.

کریزوتیل، لیزاردیت و آنتی‌گوریت به‌صورت چند ریختی-های سرپانتینی در متاپریدوتیت‌های سرو دیده می‌شوند. در بررسی‌های میکروسکوپی، کریزوتیل به صورت فیبری و رشته-ای مشاهده می‌شود، لیزاردیت با دو شکستی پایین و آنتی‌گوریت را از شکل دانه‌ای آن می‌توان تشخیص داد.

بافت‌های سرپانتین در متاپریدوتیت‌های سرو عبارتند از:

۱) بافت غربالی: بافت غربالی سرپانتین به‌عنوان بافت شبه ریختی پس از اولیوین به حساب می‌آید و معمولاً از چندریختیهای  $Lz \pm Ctz$  تشکیل شده است [۹،۶]. در این بافت گاهی آنتی‌گوریتی به‌صورت حاشیه در اطراف الیوین نیز تشکیل می‌شود و سپس هر دوی آن‌ها با لیزاردیت جایگزین می‌شود [۱۱،۱۰]. مگنتیت و بروسیت می‌توانند به صورت فرعی حضور داشته باشند. بافت ساعت شنی به شدت به تبلور دوباره سرپانتین در گستره‌ی پایداری کریزوتیل وابسته است [۹]. حضور بافت غربالی با هسته‌ی ساعت‌شنی احتمالاً نشان دهنده‌ی به‌وجود آمدن هسته‌ی ساعت‌شنی در دمای بالاتر از

بافت این سنگ‌ها گرانوبلاستیک هم بعد (equigranoblastic) است. پاراژنز کانی‌ها در مررها شامل کلسیت و ترمولیت/آکتینولیت است. این سنگ‌ها از بیش از ۹۰٪ کلسیت تشکیل شده‌اند (شکل ۳ ت). در بلورهای کلسیت دگرشکلی‌هائی به-صورت خمیدگی در رخ‌های آن‌ها دیده می‌شوند.

#### متاپریدوتیت‌های سرپانتینی شده

در این بخش انواع چندریخت‌ها و بافت‌های سرپانتین در سنگ‌های متالترامافیک منطقه سرو به تفصیل مورد بررسی قرار گرفتند.

#### بررسی انواع چندریختی و بافت‌های سرپانتینی در متاپریدوتیت‌های سرپانتینی شده سرو

متاپریدوتیت‌های سرپانتینی شده بیشتر از انواع چندریختی‌های سرپانتین (لیزاردیت، کریزوتیل و آنتی‌گوریت) با فازهای فرعی بروسیت، مگنتیت و سیلیکات‌های Mg و Ca-Al دیده می‌شوند [۶]. ترکیب شیمیایی چندریختی‌های سرپانتین یکسان بوده ولی ساختار بلوری آن‌ها متفاوتند. لیزاردیت به‌صورت لایه‌های صفحه‌ای و کریزوتیل از لایه‌های بلند و رشته‌ای تشکیل شده است [۶،۷]. ساختار آنتی‌گوریت به‌صورت درهم تنیده (modulated) است [۸].

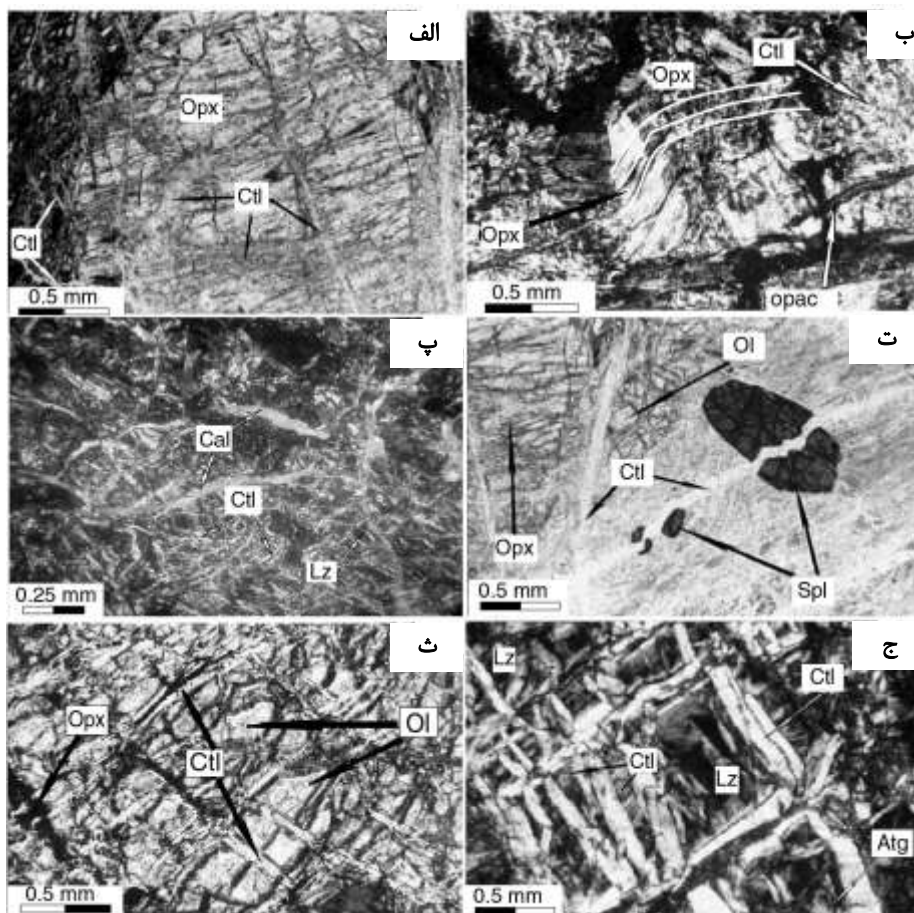
جریان شاره در سیستم به صورت محدود وجود داشته و فرآیند انتشار کنترل شده باشد، در صورتی که در محیط‌های با جریان بالای شاره، سرپانتین ریز بلور و اجزای آمورف و بی‌شکل جایگزین انستاتیت می‌شود [۱۳، ۱۴].

۳) بافت تداخلی (interpenetrating): این بافت یکی از بافت‌های ناشبه ریختی سرپانتین است [۹، ۶]. سرپانتین چند ریختی در این بافت شامل تیغه‌های بلند آنتی‌گوریت قابل تشخیص است [۶] (شکل ۵ الف).

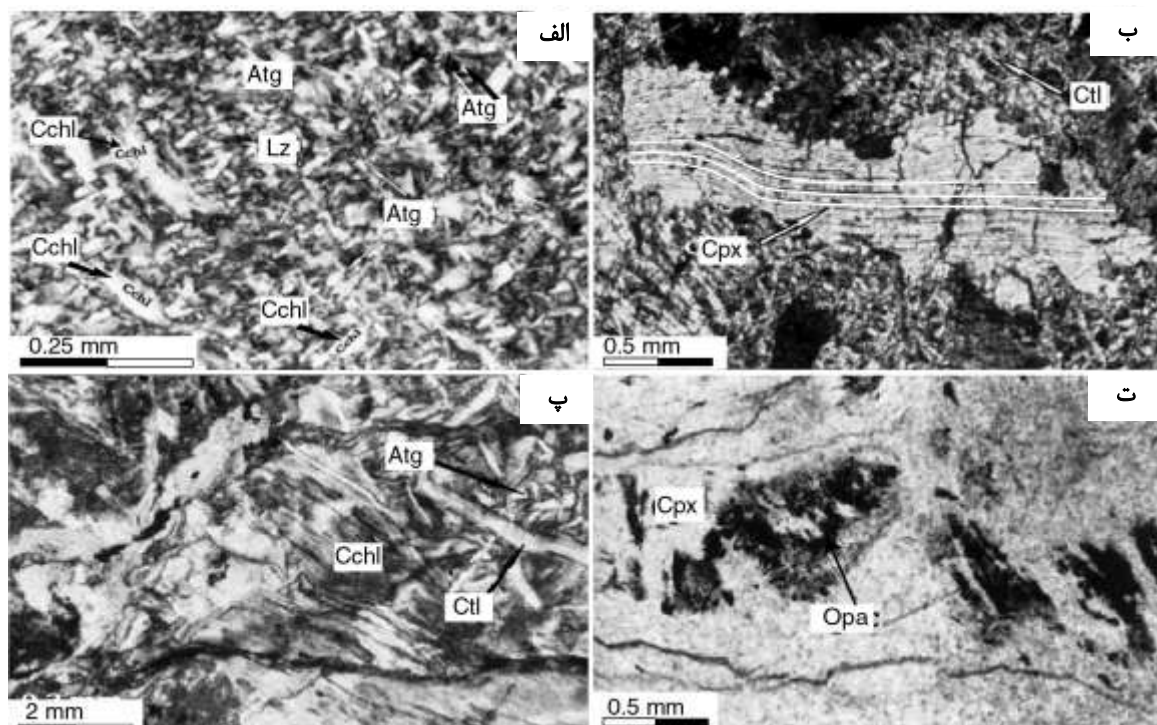
۴) بافت در هم قفل شده (inter-locking): این بافت در نتیجه‌ی تقاطع چند رگه‌ی قدیمی و جدید به وجود می‌آید و سنگ، نماد شبکه مانند به خود می‌گیرد. این بافت حاصل تجدید تبلور است [۱۱] (شکل ۴ پ).

هسته همسانگرد است [۹]. کانی‌های کدر ثانویه (احتمالاً به همراه بروسیت) در مرز بین دیواره‌های غربالی تشکیل شده است. در حالت تاخیری، دیواره‌ی غربالی بزرگتر از هسته‌ها هستند. این بافت یکی از بافت‌های اصلی پریدوتیت‌های اولیوین‌دار دگرسان شده است و در بیشتر سنگ‌های متاپریدوتیتی مورد بررسی مشاهده می‌شود (شکل ۴ ج).

۲) بستایت (bastite): به بافت شبه ریختی حاصل از سرپانتینی شدن پیروکسن، بستایت گفته می‌شود [۹، ۶] (شکل ۵ ت). بستایت‌های پیروکسنی از لیزاردیت با مقدار اندکی از لایه لیزاردیت و کریزوتیل تشکیل شده‌اند [۹، ۱۳، ۱۲، ۹]. در فرایند سرپانتینی شدن معمولاً انستاتیت با سرپانتین با مقدار کمی تالک و کلریت جانشین می‌شود. البته این زمانی است که



شکل ۴ الف) تجزیه‌ی ارتوپروکسن به سرپانتین (کریزوتیل)، (XPL)؛ ب) ارتوپروکسن تغییر شکل و چین‌خوردگی کامل، در این کانی حالت خمیدگی در رخ‌ها کاملاً مشهود است، بین رخ‌ها نیز کانی کدر تشکیل شده است، (XPL)؛ پ) رشته‌های کریزوتیل و رگه‌های کلسیتی ثانویه، (XPL)؛ ت) شکستگی در سنگ و کانی اسپینل و پرشدن شکستگی با کریزوتیل (هارزبورگیت سرپانتینی شده)، (XPL)؛ ث) بقایای از اولیوین اولیه در هسته‌ی Mesh texture در هارزبورگیت سرپانتینی شده (XPL)؛ ج) Mesh texture در هارزبورگیت سرپانتینی شده. علائم اختصاری کانی‌ها از [۵] است.



شکل ۵ الف) بافت نفوذی در سرپانتینیت (PPL)؛ ب) کلینوپیروکسن تبدیل شده به ترمولیت در لرزولیت سرپانتینی شده، کلینوپیروکسن به موازات رخ‌هایش خم‌شدگی نشان می‌دهد؛ پ) کلینوکلر با دگرشکلی (XPL) ت) بستایت «شبه شکل‌دار کدر و سرپانتین». اثری از پیروکسن اولیه باقی نمانده است (PPL). علائم اختصاری کانی‌ها از [۵] است.

#### سنگ‌شناسی متاپریدوتیت‌های سرپانتینی شده سرو

ترکیب پروتولیت متاپریدوتیت‌های سرپانتینی شده سرو بر اساس بررسی‌های کانی‌شناسی و روابط بافتی هارزبورگیت سرپانتینی شده و لرزولیت سرپانتینی شده ارزیابی می‌شود.

#### هارزبورگیت سرپانتینی شده

در بررسی‌های میکروسکوپی این سنگ‌ها، بقایای از کانی‌های ماگمایی اولیه شامل اولیوین (۲۰٪)، ارتوپیروکسن (۱۰-۱۵٪)، کلینوپیروکسن (۳-۲٪)، اسپینل (تا ۱٪) و نیز کانی‌های دگرگون شامل سرپانتین (۷۰٪) (چند ریختی‌های کریزوتیل، آنتی‌گوریت، لیزاردیت)، تالک، ترمولیت-آکتینولیت و اکسید آهن دیده می‌شوند.

بقایای ارتوپیروکسن ماگمایی، پس از الیوین بیشترین فراوانی را دارد، که به صورت درشت دانه و بی‌شکل با تجزیه شدگی کم به سرپانتین در این سنگ‌ها دیده می‌شوند. در برخی از نمونه‌ها ارتوپیروکسن‌ها به شدت به کریزوتیل رشته‌ای تجزیه شده است (شکل ۴ الف). ارتوپیروکسن اغلب دارای رخ‌های خمیده بوده و دگرشکلی شدیدی را نشان می‌دهد (شکل ۴ ب).

کلینوپیروکسن در مقاطع خیلی کم دیده می‌شوند.

کلینوپیروکسن بی‌شکل بوده و اغلب به ترمولیت و اکتینولیت تبدیل شده است. رگه‌ها و شکستگی‌ها در کلینوپیروکسن و ارتوپیروکسن با کریزوتیل پر شده است ولی بعضی کانی‌های کدر و کلسیت نیز در رگه‌ها دیده می‌شوند (شکل ۴ پ). اسپینل نیمه شکل‌دار تا بی‌شکل بوده و برخی به صورت دانه‌های درشت بی‌شکل در متن سنگ مشاهده می‌شود. برخی از اسپینل‌ها همراه با سنگ شکسته شده و فضای بین شکستگی‌ها را سرپانتین ثانویه پر کرده است که نشان می‌دهد تشکیل کانی سرپانتین در این شکستگی‌ها به فرایندهای زمین ساختی بعدی وابسته بوده‌اند (شکل ۴ ت).

در بافت غربالی، بقایای اولیوین ماگمایی هسته غربال را تشکیل داده است (شکل ۴ ث). البته برخی از هسته‌ها دو شکستی ضعیف دارند که به احتمال از لیزاردیت تشکیل شده‌اند [۹]. سرپانتین دیواره‌ی غربالی شامل فیبرهای قابل رویت موازی از کریزوتیل است که عمود بر سطح تماس دیواره-ی غربالی و هسته‌ی غربالی واقع شده است. لبه‌ی بیرونی دیواره‌ی غربالی به‌عنوان مرز یک بلور و یا شکستگی در درون

تشخیص در زیر میکروسکوپ است (شکل ۵ الف). کلسیت و اکسید آهن به صورت ثانویه در رگه‌ها و شکستگی‌ها انباشته شده اند. کلینوکلر به صورت صفحات کشیده با رنگ تداخلی خاکستری تا سفید و در اندازه‌های متفاوت تا ۰/۲۵ mm در متن سنگ مشاهده می شود و حالت خمیدگی نیز نشان می دهد (شکل ۵ ب). کلینوکلر بطور معمول در سرپانتینیت‌هایی که بافت اولیه ماگمایی خود را کاملاً از دست داده و بافت تداخلی نشان می دهند، مشاهده می شوند.

کانی‌های کدر عموماً نیمه شکل دار تا بی شکل هستند، ولی تعدادی به صورت شکل دار نیز مشاهده می شوند که در زمینه ی سنگ پراکنده اند. بافت شبه ریختی بستایت حاصل از تجزیه ی ارتوپروکسن نیز در این سنگ‌ها دیده می شود (شکل ۵ ت).

#### بررسی‌های ژئوشیمیایی

##### ترکیب پروتولیت متاپریدوتیت‌های سرپانتینی شده

در این بخش با استفاده از نتایج آنالیز شیمیایی سنگ‌های مورد بررسی، ترکیب ماگمایی پروتولیت متاپریدوتیت‌های منطقه مشخص شده‌اند. تعداد ۶ نمونه از متاپریدوتیت‌های منطقه برای آنالیز شیمی سنگ کل انتخاب شدند و به روش آنالیز XRF سازمان انرژی اتمی تهران تجزیه شدند. جدول ۱ نتایج این تجزیه‌ها را نشان می دهد.

برای نشان دادن ترکیب پروتولیت متاپریدوتیت‌های مورد بررسی از نمودار Ol-Opx-Cpx [۱۵]، استفاده شد. داده‌های اصلی سنگ‌های تجزیه شده در این نمودار رسم شده‌اند، با توجه به نمودار مثلی Ol-Opx-Cpx، بیشتر سنگ‌های با درجه‌ی سرپانتینی شدن بالا در گستره‌ی هارزبورگیت و سنگ‌های با درجه‌ی سرپانتینی شدن پائین در گستره‌ی لرزولیت واقع شده‌اند (شکل ۶).

##### بررسی نمودار تغییرات عناصر

برای بررسی عناصر اصلی و فرعی و تغییرات آن‌ها نسبت به MgO از عناصر نا متحرک استفاده شد.

TiO<sub>2</sub>: روندی نزولی نسبت به افزایش MgO، نشان می دهد که TiO<sub>2</sub> در مراحل اولیه‌ی ماگمایی وارد کانی‌های الیوین و ارتوپروکسن نشد، بلکه در مراحل بعدی به درون شبکه کانی‌های کلینوپروکسن و اسپینل نفوذ کرده است، یعنی تشکیل اسپینل و کلینوپروکسن پس از الیوین و ارتوپروکسن بوده است (شکل ۷ الف).

بلور است [۶]. در اغلب نمونه‌های سرپانتینی شده با بافت غربالی، هسته دارای بافت ساعت شنی است (شکل ۴ ج). در بافت ساعت شنی (hourglass)، سرپانتین هسته غربالی از سرپانتین دیواره‌ی غربالی قابل تشخیص نیست و نشان‌دهنده‌ی شکستگی‌هایی در مرز بین دانه‌هاست (شکل ۴ ج) [۶]. کلیفیت بافت در حاشیه‌ی اولیوین متشکل از مجموعه کانی-های ریزدانه کلریت، سرپانتین و تالک در برخی از نمونه‌ها مشاهده می شوند.

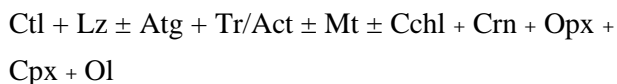
بافت در هم قفل شده (inter-locking) به صورت شکستگی‌های شبکه مانند در برخی از سنگ‌ها مشاهده می شود (شکل ۴ پ).

بر اساس مقادیر مودی بقایای کانی‌های ماگمایی در متاپریدوتیت‌های سرپانتینی شده و نیز فراوانی بافت‌های شبه ریختی mesh texture (پس از الیوین)، بستایت (پس از پیروکسن) و مقادیر مودی بالای سرپانتین، ترکیب پروتولیت این سنگ‌ها هارزبورگیت ارزیابی می شود.

##### لرزولیت‌های سرپانتینی شده

ویژگی‌های این سنگ‌ها همانند هارزبورگیت‌های سرپانتینی شده در منطقه‌ی مورد بررسی است. در این سنگ‌ها بقایای از کانی‌های ماگمایی شامل اولیوین (۲۰٪-۱۵٪)، ارتوپروکسن (۵٪)، کلینوپروکسن (۳٪-۵٪)، اسپینل (تا ۱ درصد) حضور دارند. الیوین و ارتوپروکسن به سرپانتین تجزیه شده اند. کانی‌های کلینوپروکسن بیشتر به ترمولیت/آکتینولیت تبدیل شده اند (شکل ۵ ب). کلریت احتمالاً از نوع کلینوکلر در مقادیر کمتر در برخی از نمونه‌ها مشاهده می شود.

مجموعه کانی‌های این سنگ‌ها عبارتند از:



علائم اختصاری کانی‌ها از [۵] است.

##### سرپانتینیت‌ها

در بررسی‌های میکروسکوپی، این نمونه‌ها کاملاً سرپانتینی شده و تقریباً آثار کانی‌های ماگمایی اولیه در آنها به سختی قابل مشاهده است و یا اصلاً مشاهده نمی شوند. مجموعه کانی‌های سنگ‌های سرپانتینیت عبارتند از:



بافت عمومی سنگ، تداخلی (interpenetrating) است که در آن سرپانتین به صورت تیغه‌های بلند آنتی‌گوریت و قابل

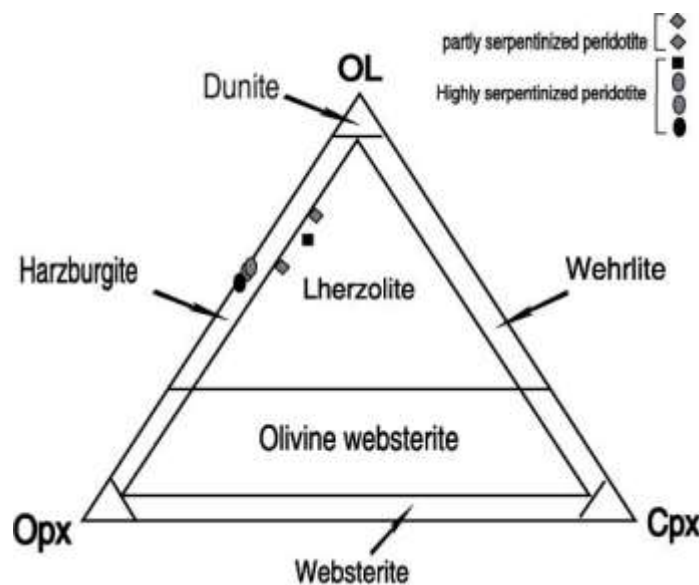


ماگمائی وارد شبکه ارتوپروکسن و الیوین نشد، و احتمالاً در ادامه‌ی تبلور وارد کلینوپروکسن شده است (شکل ۷ ت).  
 V: این عنصر معمولاً رفتاری شبیه به عملکرد Ti در فرایندهای ذوب و تبلور دارد. روند نزولی این عنصر که همانند Ti است، نشان‌دهنده‌ی جایگیری این عنصر در شبکه‌ی کانی‌های کلینوپروکسن در مراحل پایانی تبلور است (شکل ۷ ث).

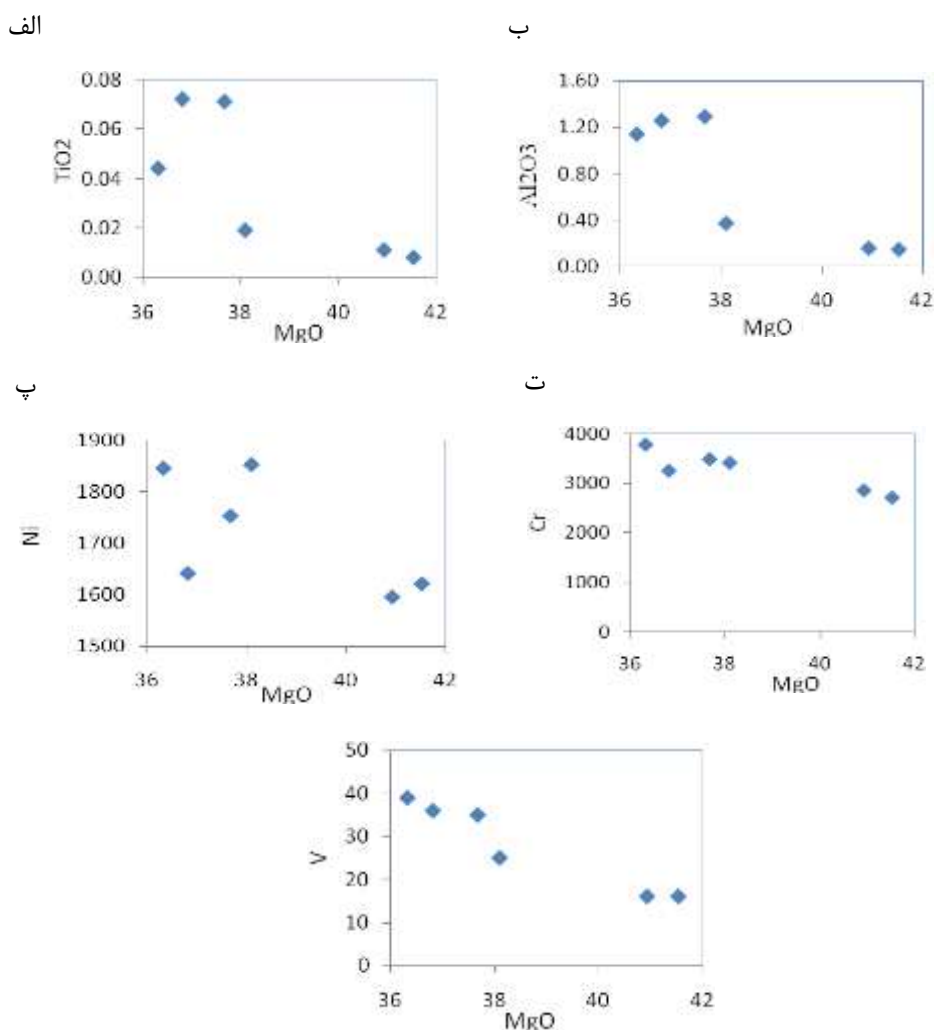
Al<sub>2</sub>O<sub>3</sub>: نسبت به افزایش MgO روند نزولی دارد، که احتمالاً نشان‌دهنده‌ی ورود این عنصر در شبکه‌ی کانی‌های اسپینل و کلینوپروکسن است (شکل ۷ ب).  
 Ni: روند خاصی را نشان نمی‌دهد. این عنصر معمولاً به‌دلیل تشابه شعاع یونی با آهن و منیزیم در مراحل اولیه ماگمائی وارد الیوین و پروکسن می‌شود (شکل ۷ پ).  
 Cr: روند نزولی این عنصر نشان می‌دهد که در مراحل اولیه‌ی

جدول ۱ تجزیه‌ی شیمیایی متاپریدوتیت‌ها و سرپانتینیت‌های سرو (N: آنالیز نشده، BD: کمتر از حد قابل تشخیص).

| Major oxides (wt%) Sample number | ۱۵/۱  | ۱۵/۲  | ۳/۱   | ۳/۲   | ۱۰    | ۱۱     |
|----------------------------------|-------|-------|-------|-------|-------|--------|
| SiO <sub>2</sub>                 | ۵۲/۴۰ | ۴۰/۹۴ | ۳۸/۸۵ | ۳۷/۰۱ | ۳۶/۴۸ | ۳۸/۲۶  |
| Al <sub>2</sub> O <sub>3</sub>   | ۰/۱۵  | ۰/۱۶  | ۱/۲۶  | ۱/۲۹  | ۱/۱۴  | ۰/۳۷   |
| Fe <sub>2</sub> O <sub>3</sub>   | ۵/۳۳  | ۵/۴۷  | ۸/۳۶  | ۸/۳۹  | ۸/۷۱  | ۸/۴۲   |
| CaO                              | ۰/۰۳  | ۰/۰۴  | ۱/۹۵  | ۱/۹۶  | ۱/۹۷  | ۰/۰۹   |
| Na <sub>2</sub> O                | BD    | BD    | BD    | BD    | BD    | BD     |
| MgO                              | ۴۱/۵۳ | ۴۰/۹۳ | ۳۶/۸۱ | ۳۷/۶۷ | ۳۶/۳۲ | ۳۸/۰۹  |
| K <sub>2</sub> O                 | N     | N     | N     | N     | N     | N      |
| TiO <sub>2</sub>                 | ۰/۰۱  | ۰/۰۱  | ۰/۰۷  | ۰/۰۷  | ۰/۰۴  | ۰/۰۲   |
| MnO                              | ۰/۰۹  | ۰/۰۹  | ۰/۱۱  | ۰/۱۱  | ۰/۱۳  | ۰/۱۱   |
| P <sub>2</sub> O <sub>5</sub>    | ۰/۰۰  | ۰/۰۱  | ۰/۰۱  | ۰/۰۱  | ۰/۰۱  | ۰/۰۱   |
| LOI                              | ۱۲/۲۴ | ۱۲/۰۸ | ۱۰/۶۵ | ۱۰/۵۲ | ۱۳/۹۴ | ۱۴/۲۹  |
| Total                            | ۹۹/۹۰ | ۹۹/۷۳ | ۹۸/۰۷ | ۹۳/۰۳ | ۹۸/۷۴ | ۱۰۰/۶۶ |
| Trace Element, ppm               |       |       |       |       |       |        |
| Cr                               | ۲۷۰۲  | ۲۸۴۹  | ۳۲۴۶  | ۳۴۸۰  | ۳۷۷۳  | ۳۴۰۷   |
| Ni                               | ۱۶۲۱  | ۱۵۹۵  | ۱۶۴۱  | ۱۷۵۳  | ۱۸۴۶  | ۱۸۵۳   |
| V                                | ۱۶    | ۱۶    | ۳۶    | ۳۵    | ۳۹    | ۲۵     |



شکل ۶ ترکیب پروتولیت متاپریدوتیت‌های سرو در نمودار Ol-Opx-Cpx [۱۴].



شکل ۷ نمودارهای تغییرات عناصر در برابر MgO.

#### بررسی محیط زمین ساختی

سرپانتینیت‌های سرو بر اساس نمودار Cr نسبت به TiO<sub>2</sub> [۱۶] در گستره‌های افیولیتی (Mid Ocean Ridge (MOR) و Supra Subduction Zone (SSZ) قرار گرفته‌اند که به ترتیب به نمونه‌های با درجه‌ی سرپانتینی زیاد و کم وابسته‌اند (شکل ۸ الف). این دوگانگی احتمالاً به دلیل آبدار شدن شدید سنگ‌هاست. نمونه‌های مورد بررسی در نمودارهای FeO – MgO – (Na<sub>2</sub>O + Al<sub>2</sub>O<sub>3</sub>) – MgO – CaO (K<sub>2</sub>O) [۱۶]، در گستره‌ی پریدوتیت‌های دگرگون وابسته به افیولیت‌ها قرار گرفته‌اند (شکل ۸ ب و پ).

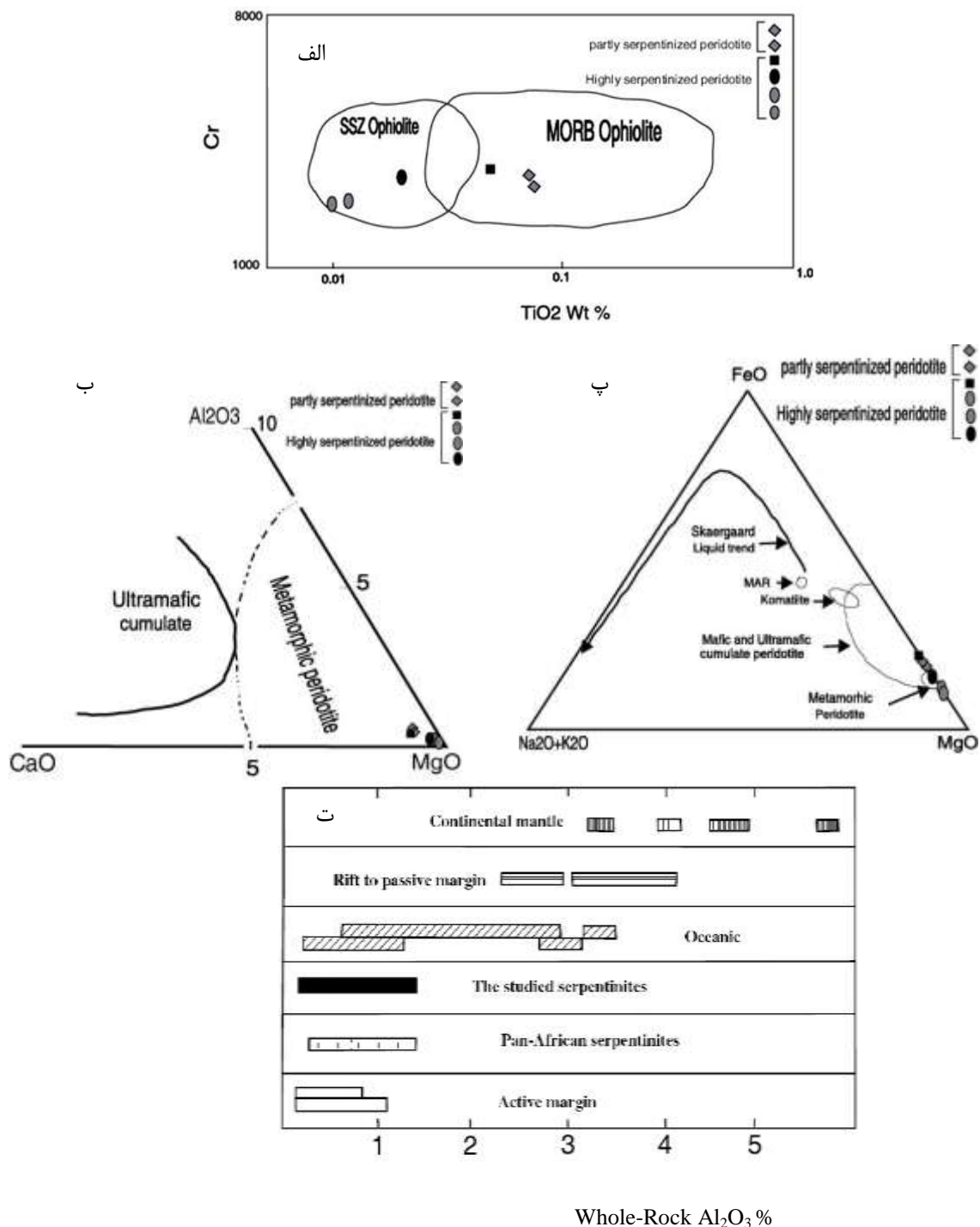
مقادیر Al، در شرایط سرپانتینی شدن و دگرگونی، چندان تغییر نمی‌کند. محتوای Al<sub>2</sub>O<sub>3</sub> در پریدوتیت‌ها از ریفتهای درون قاره‌ای (پیش از تشکیل اقیانوس) به سمت حاشیه غیر

فعال تا اقیانوس کامل و پس از آن زون فرورانشی کم می‌شود [۱۷] (شکل ۸ ت). مقادیر Al<sub>2</sub>O<sub>3</sub> در سرپانتینیت‌های سرو برابر با ۰٫۱۵-۱٫۲۹ (wt%) است. بر اساس نمودار مقایسه‌ای محتوای Al<sub>2</sub>O<sub>3</sub> در محیط‌های زمین‌ساختی مختلف [۱۷]، متا‌پریدوتیت‌های مورد بررسی مشابه سرپانتینیت‌های Pan-African در صحرای شرق مصر [۱۸]، از انواع پریدوتیت‌های حاشیه‌ی فعال و پریدوتیت‌های اقیانوسی ارزیابی می‌شوند (شکل ۸ ت).

بدین ترتیب با داده‌های موجود، در مورد محیط زمین ساختی تشکیل پریدوتیت‌ها، نمی‌توان نظر قاطع داد. ولی با توجه به بررسی‌های بافتی و احتمال تشکیل پریدوتیت‌ها و سرپانتینیت‌های حاصل در یک محیط کششی، نمی‌توان محیط زمین ساختی درون قاره‌ای و یا حاشیه‌ی فعال را برای آنها در

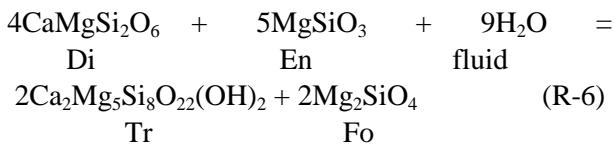
بتوان خاستگاه پوسته‌ی اقیانوسی و افیولیتی را برای پریدوتیت‌های مورد بررسی بیشتر محتمل دانست.

نظر گرفت. تشکیل لیزاردیت/کریزوتیل حاصل از تجزیه بیوین در بافت غربالی [۱۹]، به دگرگونی گرماب‌های کف اقیانوس در پشته‌های میان اقیانوسی وابسته است [۲۰]. بر این اساس شاید

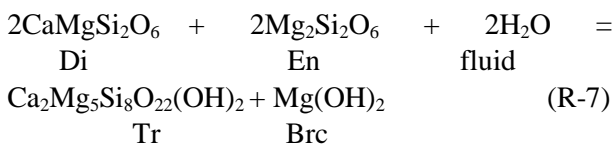


شکل ۸ الف) نمودار Cr نسبت به TiO<sub>2</sub> [۱۵]، ب و پ) نمودارهای Al<sub>2</sub>O<sub>3</sub>-MgO-CaO و FeO-Na<sub>2</sub>O+K<sub>2</sub>O-MgO [۱۴]. نمونه‌های تجزیه شده در گستره‌ی پریدوتیت‌های دگرگونی واقع شده‌اند، ت) مقادیر Al<sub>2</sub>O<sub>3</sub> سرپانتینیت‌ها در محیط‌های زمین‌ساختی مختلف [۱۶] و مقایسه‌ی نمونه‌های مورد بررسی با آنها.

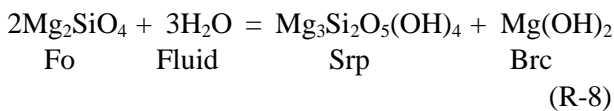




در مرحله‌ی دوم با پائین آمدن دما تا حدود  $530^\circ\text{C}$ ، همین تشکیل دهنده‌های واکنشی (ارتوپیروکسن، کلینوپیروکسن و سیال) به سمت تولید همزمان بروسیت و ترمولیت پیش می‌روند (R-7).



در مرحله‌ی بعدی با آبدار شدن فورستریت در دمای حدود  $350^\circ\text{C}$ ، سرپانتین و بروسیت تولید می‌شوند.

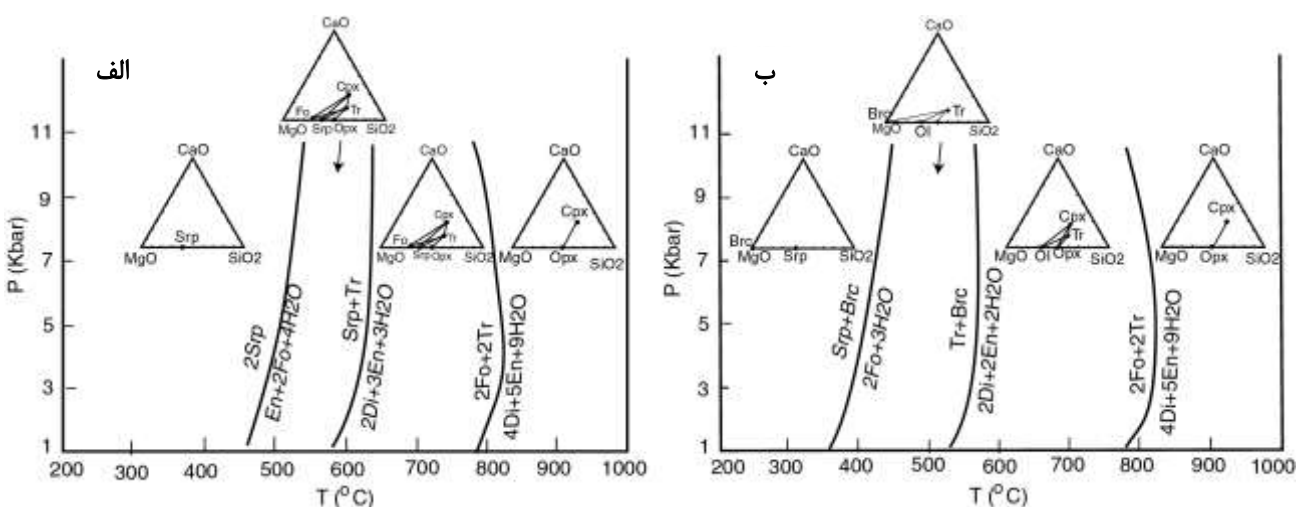


شکل (۹ ب) واکنش‌های احتمالی و شرایط تشکیل متاپریدوتیت‌های سرو در شرایط حضور بروسیت را نشان می‌دهد که بر این اساس با کاهش دما واکنش‌های احتمالی ممکن از حدود  $780^\circ\text{C}$ ، به سمت تولید  $\text{Tr} + \text{Fo}$  و سپس  $\text{Tr} + \text{Brc}$  پیش‌رفته و با کاهش بیشتر دما (حدود  $350^\circ\text{C}$ )،  $\text{Srp} + \text{Brc}$  تشکیل می‌شود.

در پایان می‌توان گفت که با کاهش دمای دگرسانی، محصولات واکنش آبدار شدن پریدوتیت‌های منطقه از تولید ترمولیت در دمای حدود  $780^\circ\text{C}$  به سمت تولید سرپانتین در دمای کمتر از  $550^\circ\text{C}$  پیش می‌رود.

بروسیت طی سرپانتینی شدن سنگ‌های الترامافیک تشکیل می‌شود. این کانی به صورت تیغه‌های نازک بیرنگ بوده و در صورت ریزدانه بودن تشخیص آن از سرپانتین و کانی‌های ریزدانه‌ی دیگر در سرپانتینیت‌ها و متاپریدوتیت‌های سرپانتینی شده مشکل است. در سنگ‌های مورد بررسی بروسیت احتمالاً همراه با کانی‌های کدر و بین شکستگی‌های حاصل از سرپانتینی شدن کانی‌های تشکیل دهنده‌ی سنگ، تشکیل شده است. با فرض اینکه در پاراژنز سنگ‌های مورد بررسی بروسیت نیز حضور دارد، واکنش‌های محتمل برنامه‌ی ترموکالک [۲۱] محاسبه شد و در نمودار P-T (۹ ب) نشان داده شده است. دما و فشار دگرگونی به دست آمده با فرض حضور بروسیت، با نتایج بدست آمده در شرایط بدون حضور بروسیت مقایسه خواهد شد.

در مرحله‌ی اول (شرایط حضور بروسیت)، همانند شرایط قبلی (واکنش R-1)، واکنش ارتوپیروکسن و کلینوپیروکسن با شاره منجر به تشکیل فورستریت و ترمولیت در دمای حدود  $780^\circ\text{C}$  می‌شود (واکنش R-6).



شکل ۹ واکنش‌های سرپانتینی شدن متاپریدوتیتی در سیستم  $\text{CaO-MgO-SiO}_2\text{-H}_2\text{O}$  (CMSH) و شرایط دمایی احتمالی تشکیل متاپریدوتیت‌های سرو (الف) در شرایط بدون حضور بروسیت، (ب) در شرایط حضور بروسیت.

## برداشت

۱/۱۰۰۰۰۰ سرو (گنگچین) (۱۳۸۳) سازمان زمین شناسی و اکتشافات معدنی کشور.

[۴] آقابات‌ی ع.، حقی پور ع.، "شرح نقشه زمین‌شناسی ۱/۲۵۰۰۰۰ چهارگوش سرو"، (۱۳۶۷) سازمان زمین شناسی و اکتشافات معدنی کشور.

[5] Kretz R., "Symbols for rock-forming minerals", American Mineralogist 68 (1983) 277-279.

[6] O'Hanley D.S., "Serpentinities: records of tectonic and petrological history", Oxford Monographs on Geology and Geophysics (1996) 34.

[7] Mével C., "Serpentinization of abyssal peridotites at mid-ocean ridges", Comptes Rendus Geoscience 335 (2003) 825-852.

[8] Guggenheim S., Eggleton R.A., "Crystal chemistry, classification, and identification of modulated layer silicates. In: Bailey, S. W. (ed.). Hydrous phyllosilicates exclusive of micas", Reviews in Mineralogy 19 (1988) 675-725.

[9] Wicks F.J., Whittaker E.J.W., "Serpentine textures and serpentinization", Canadian Mineralogist 15 (1977) 459-488.

[10] O'Hanley D.S., "The composition of lizardite 1T and the formation of magnetite in serpentinites", American Mineralogist 78 (1993) 391-407.

[11] O'Hanley D.S., "Fault-related phenomena associated with hydration and serpentine recrystallization during serpentinization", Canadian Mineralogist 29 (1991) 21-35.

[12] Wicks F.J., Plant A.G., "Electron-microprobe and X-ray microbeam studies of serpentine textures", Canadian Mineralogist 17 (1979) 785-830.

[13] Le Gleuher M., Livi K.J.T., Veblen D.R., Noack Y., Amouric, M., "Serpentinization of Enstatite from Pernes, France: Reaction Microstructures and the Role of System Openness", American Mineralogist 75 (1990) 813-824.

[14] Viti C., Mellini M., Rumori C., "Exsolution and hydration of pyroxenes from partially serpentinized harzburgites", Mineralogical Magazine 69 (2005) 491-507.

[15] Coleman R.G., "Ophiolites", 1 Springer-Verlag, Berlin, (1977) 229 pp.

[16] Pearce, J. A., Lippard, S. J. and Roberts, S., 1984. Characteristics and tectonic significance of supra-subduction zone ophiolites. In: Kokelaar, B. P., Howell, M. F. (eds.). Marginal basin geology,

سنگ‌های دگرگون منطقه‌ی شمال غرب سرو بیشتر از سنگ‌های متابازیت و متاپریدوتیتی تشکیل شده‌اند. متابازیت‌های سرو در رخساره‌ی شیست سبز تا آمفیبولیت دگرگون شده‌اند. شدت سرپانتینی شدن متاپریدوتیت‌ها از درجات کم تا زیاد در تغییر است. متالترامافیک‌های سرپانتینیته شده براساس مشاهدات بافتی و کانی‌شناسی در سه دسته هارزبورگیت سرپانتینی شده، لوزولیت سرپانتینی شده و سرپانتینیت، رده بندی می‌شوند. بر اساس بررسی‌های شیمی کل سنگ پروتولیت متالترامافیک‌های سرپانتینی شده از نوع هارزبورگیت و لوزولیت ارزیابی می‌شوند. در مورد محیط زمین‌ساختی تشکیل پریدوتیت‌ها نمی‌توان نظر قاطع داد، ولی با توجه به بررسی‌های بافتی و احتمال تشکیل متاپریدوتیت‌های سرپانتینی شده و سرپانتینیت‌های حاصل در یک محیط کششی، شاید بتوان خاستگاه پوسته‌ی اقیانوسی و افیولیتی را برای متاپریدوتیت‌های مورد بررسی محتمل دانست.

بالاترین دمای احتمالی برای تشکیل سرپانتین  $480^{\circ}\text{C}$  و بالاترین دما برای تشکیل ترمولیت حدود  $780^{\circ}\text{C}$  تعیین شده است. با فرض حضور بروسیت در متاپریدوتیت‌های منطقه، بالاترین دمای احتمالی تشکیل سرپانتین تا  $350^{\circ}\text{C}$  کاهش می‌یابد.

## قدردانی

این پژوهش بخشی از پایان‌نامه کارشناسی ارشد مؤلف اول است که به این وسیله از حمایت‌های معاونت تحصیلات تکمیلی دانشگاه تبریز تشکر می‌شود. مؤلفین همچنین از نظرات و پیشنهادات سازنده‌ی داوران محترم مجله‌ی بلورشناسی و کانی‌شناسی ایران سپاسگزاری می‌کنند.

## مراجع

[1] Stocklin J., "Structural history and tectonics of Iran; a review", American Association of petroleum Geologists Bulletin, 52 (7) (1968) 1229-1258.

[۲] افتخارنژاد ج.، "تفکیک بخش‌های مختلف ایران از نظر وضع ساختمانی در ارتباط با حوزه‌های رسوبی"، نشریه انجمن نفت شماره ۸۲ (۱۳۵۹) ص ۲۸-۱۹.

[۳] سبزه‌ای م.، محمدی‌ها ک.، اژدری ک.، محمدی ترک‌آبادی ح.، رمضانی‌اردکانی ف.، امامی م. ح.، "نقشه زمین‌شناسی

- [20] Hoogerduijn Strating E.H., Rampone E., Piccardo G.B., Drury M.R., Vissers R.L.M., "Subsolidus emplacement of mantle peridotites during incipient oceanic rifting and opening of the Mesozoic Tethys (Voltri Massif, NW Italy)", *Journal of Petrology*, 34 (1993) 901–927.
- [21] Powell R., Holland T.J.B., "An Internally Consistent Dataset with Uncertainties and Correlations 3. Applications to Geobarometry, Worked Examples and a Computer-Program", *Journal of Metamorphic Geology* 6(2) (1988) 173–204.
- [22] Li X.P., Rahn M., Bucher K., "Metamorphic processes in rodingites of the Zermatt-Saas ophiolites", *International Geological Review*, 46 (2004) 28–51.
- Geological Society of London, Special Publication, 16, 77–94.
- [17] Floyd P.A., "Oceanic basalts", Blachie and Son Ltd, (1991) 455 pp.
- [18] El Bahariya G.A., Arai S., "Petrology and origin of Pan-African serpentinites with particular reference to chromian spinel composition, Eastern Desert, Egypt: Implication for supra-subduction zone ophiolite. In: 3rd International Conference on the Geology of Africa", Assiut University, Egypt, (2003) 371–388.
- [19] Hajialioghli R., Moazzen M., Droop G.T.R., Oberhansli R., Bousquet R., Jahangiri A., Ziemann M., "Serpentine polymorphs and P-T evolution of meta-peridotites and serpentinites in the Takab area, NW Iran", *Mineralogical Magazine*, 71 (2007) 155–174.